



# Efeito da temperatura e tempo de ativação de carvão vegetal com CO<sub>2</sub> para descontaminação de efluentes

Adriene M. Martins (PG)1\*, Aline. Ap. Caetano (PQ)1 e Fabiano Magalhães (PQ)1

<sup>1</sup>Universidade Federal de Lavras, Departamento de Química, Instituto de Ciências Naturais, Lavras, Minas Gerais, Brasil, 37200-900.

\*adriene.martins1@estudante.ufla.br

#### **RESUMO**

O carvão vegetal (CV) desempenha um papel significativo na economia do Brasil, sendo grande parte produzida a partir de resíduos da indústria madeireira. Este trabalho aborda a produção de carvão ativado (CA), utilizando CV. A ativação do CV foi realizada utilizando CO<sub>2</sub> como agente ativante e o processo foi realizado variando a temperatura (800°C e 900°C) e tempo (1h e 2h). As amostras obtidas foram CA800\_1h, CA800\_2h, CA900\_1h, CA900\_2h. Testes preliminares de adsorção do azul de metileno (50 mg.L<sup>-1</sup>), mostraram que CA900\_1h e CA900\_2h adsorveram 100% do corante, enquanto, CA800\_1h e CA800\_2h adsorveram 22 e 39%, respectivamente. Os resultados obtidos por análise térmica mostram que os carvões ativados apresentam maior estabilidade térmica do que o CV. Os resultados das isotermas de adsorção do AM pelas amostras CV, CA900\_1h e CA900\_2h, mostraram que a capacidade máxima de adsorção foram de 10, 150 e 180 mg.g<sup>-1</sup>, respectivamente, comprovando a ativação dos carvões.

Palavras-chave: Carvão ativado, reaproveitamento, descontaminação, dióxido de carbono, azul de metileno.

# Introdução

O carvão vegetal (CV) desempenha um papel significativo na economia do Brasil, sendo grande parte produzida a partir de resíduos da indústria madeireira, promovendo o reaproveitamento de biomassa e de resíduos florestais (1). O CV pode ser utilizado como matéria-prima sustentável para a produção de carvão ativado. O carvão ativado (CA) possui uma alta porosidade e área superficial, muito utilizado na adsorção de poluentes, especialmente corantes industriais (2). Este trabalho tem como objetivo obter carvão ativado para aplicação no tratamento de efluentes contaminados por corantes.

# **Experimental**

Ativação de carvão vegetal comercial

A ativação do CV, previamente triturado em almofariz e peneirado em peneira de 40 Mesh, foi realizada em um forno tubular horizontal, utilizando  $CO_2$  como agente ativante. O processo de ativação envolveu temperaturas de  $800^{\circ}\text{C}$  e  $900^{\circ}\text{C}$ , com tempos de residência de 1 h e 2 h, sob fluxo constante de gás  $CO_2$  ( $100 \text{ mL.min}^{-1}$ ). A massa inicial de CV utilizada no processo de ativação foi de 2 g, acondicionado em navículas de cerâmica.

Adsorção do corante azul de metileno (AM)

As isotermas de adsorção do CA900-1h, CA900-2h (melhores amostras) e CV foram obtidas pela adição de 10 mL de solução de AM em diferentes concentrações (25, 50, 100, 200, 400, 600 e 800 mg.L<sup>-1</sup>) a 10 mg das amostras. Os sistemas foram mantidos sob agitação durante 24 h em temperatura ambiente (25 ± 2 °C). Posteriormente, foram centrifugadas, os sobrenadantes coletados e a absorbância foi quantificada, utilizando um espectrofotômetro UV-visível, com leitura no comprimento de onda de 665 nm. Antes de realizar as isotermas, testes rápidos de adsorção, seguindo a mesma metodologia, foram realizados com as amostras CA800-1h, CA800-2h, CA900-1h e CA900-2h e CV

utilizando 10 mL solução de AM 50 mg.L<sup>-1</sup> e 10 mg de CA a fim de verificar a eficácia do processo.

A área superficial dos carvões foi estimada pela seguinte equação 1 (3):

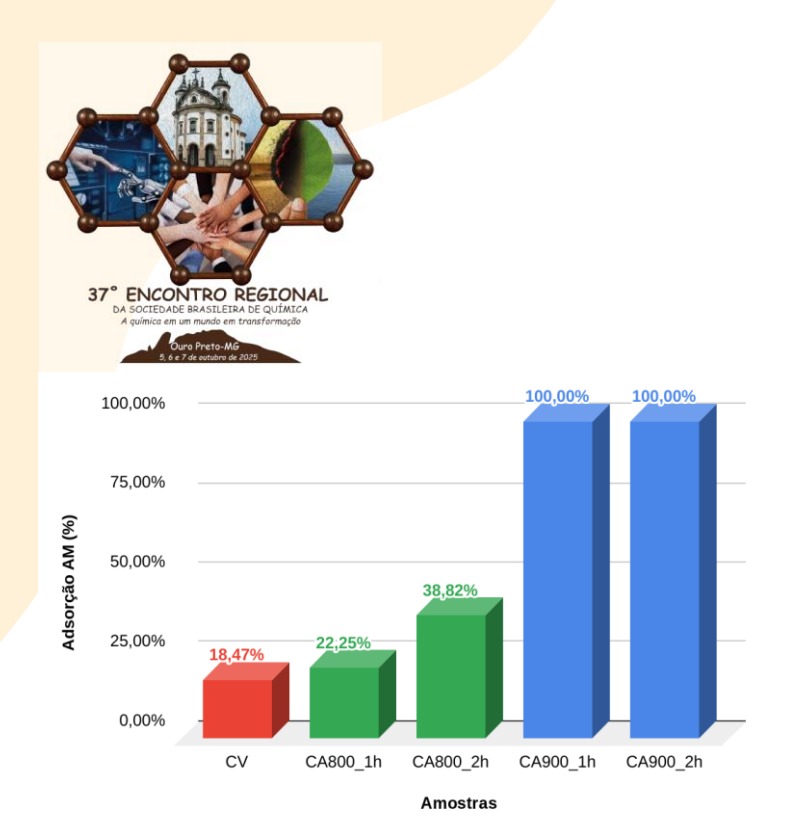
 $S = S_{AM} x b$  Equação 1

Onde S =área superficial estimada,  $S_{AM} =$ área superficial do azul de metileno (1,93 m².mg-¹), e b =capacidade máxima de adsorção do AM (mg.g-¹).

As amostras CA900-1h, CA900-2h e CV foram caracterizadas por análise térmogravimétrica (TGA).

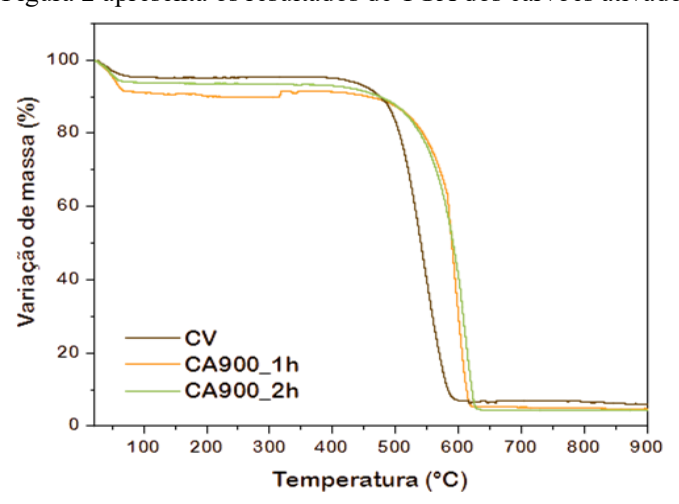
## Resultados e Discussão

As amostras CA800-1h, CA800-2h, CA900-1h e CA900-2h, apresentaram os seguintes rendimentos após ativação: 22,4; 23,3; 22,2 e 21,0%, respectivamente. Os rendimentos entre as amostras foram similares, porém, nota-se que a uma tendência de diminuir os rendimentos com o aumento da temperatura e tempo de ativação. Isso ocorre devido ao maior consumo de carbono durante o processo de ativação, realizado em temperaturas mais altas e com tempos de residência maiores. A Figura 1 apresenta os testes de adsorção realizados com as amostras obtidas. Nota-se na Figura 1 que o CA800-1h absorveu muito pouco o AM, um resultado bem similar ao CV. Ao aumentar o tempo de ativação, nota-se que a amostra CA800-2h adsorveu um pouco melhor o AM, porém um valor (38,82%) ainda considerado baixo. Por outro lado, as amostras ativadas a 900 °C (CA900-1h e CA900-2h), adsorveram 100% do AM com concentração de 50 mg.L<sup>-1</sup>, indicando que a ativação ocorreu de forma satisfatória nesta temperatura. Assim, 900 °C foi definida como a melhor temperatura e as amostras CA900-1h e CA900-2h foram caracterizadas e isotermas de adsorção foram obtidas.



**Figura 1.** Porcentagem do corante AM 50 mg.L<sup>-1</sup> adsorvido pelas amostras.

A Figura 2 apresenta os resultados de TGA dos carvões ativados.



**Figura 2.** Análise TGA do CA900-1h, CA900-2h e CV em atmosfera oxidante.

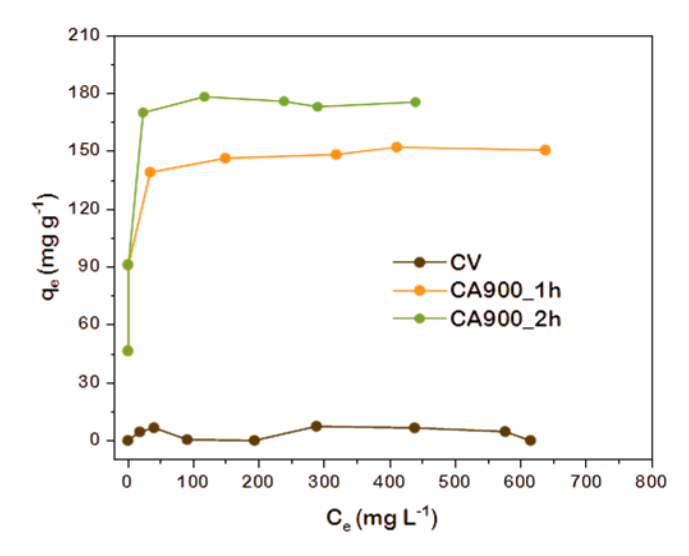
Nota-se que as curvas TG do CV e dos carvões ativados são muito semelhantes e apresentam dois eventos bem definidos. O primeiro, observado entre 50 e 100°C é relativo à perda de umidade (~4 a 10%). Um segundo evento observado entre 450 e 645 °C, que apresenta grande perda de massa (85 a 89%) está relacionado com a oxidação das amostras. Com esses resultados é possível inferir uma maior estabilidade térmica dos CA obtidos a 900 °C, uma vez que a perda de massa relativa à oxidação do carbono inicia a temperatura mais alta. Isso implica que ocorre a formação de carbono mais estável durante o tratamento térmico empregado na obtenção do CA.

A Figura 3 apresenta os resultados das isotermas de adsorção do corante AM pelas amostras CA900-1h, CA900-2h e CV. Os CA obtidos nas reações realizadas durante 1 e 2 h, apresentaram capacidades de adsorção de 150 e 180 mg.g<sup>-1</sup> respectivamente, indicando que o tempo necessário para uma melhor ativação foi de 2h. Este resultado certamente está relacionado com o aumento da área superficial, proveniente, do aumento do tempo de ativação.

A partir dos valores de capacidade máxima de adsorção do AM



pelas amostras, foi possível calcular a área superficial estimada. Os valores encontrados para as amostras CV, CA900-1h e CA900-2h são: 23,2; 298,5 e 347,4 m².g⁻¹, respectivamente. Estes resultados mostram que houve grande aumento de área superficial após o processo de ativação realizado a 900 °C, o que comprova a eficiência do CO₂ e importância da temperatura e do tempo de ativação.



**Figura 3.** Isotermas de adsorção do AM (50, 100, 200, 300, 500, 600 e 800 mg L<sup>-1</sup>) pelas amostras CV, CA900-1h e CA900-2h.

## Conclusões

Os resultados das caracterizações obtidas neste estudo indicam que o processo de ativação do carvão foi altamente eficiente a 900 °C. Ambos amostras obtidas de CA foram eficientes. Embora a amostra CA900-1h tenha apresentado resultados ligeiramente inferiores em comparação à CA900-2h, quando se considera o conceito de sustentabilidade e economia circular, que prioriza a obtenção de resultados satisfatórios com menor consumo de recursos, tempo e energia, a CA900-1h se torna uma alternativa mais vantajosa. O processo não apenas será otimizado e eficiente, mas também irá reduzir o impacto ambiental associado à produção de carvão ativado, ao aproveitar melhor a matéria-prima e minimizar o gasto energético. Assim, a escolha da CA900-1h exemplifica como alinhar desempenho técnico com práticas sustentáveis, promovendo a reutilização de materiais, a conservação de recursos naturais e a redução de resíduos.

# Agradecimentos

Os autores agradecem à FAPEMIG, UFLA, DQI, FUNAPE, CAPES, CNPq e ao Laboratório de Microscopia e Microálise da UFLA, ao Laboratório de Análise e Prospecção Química – CAPQ da UFLA.

### Referências

- 1. A.C.O. Carneiro; et al., Sustainability, 2025, 17, 3191.
- 2. C. W. Scheeren; T. P. Hartz, *Biomassa: Recursos, Aplicações e Tecnologias em Pesquisas*, **2022**, 1, 45–53
- 3. S.S. Brum, M.L. Bianchi, V.L. Silva, M.G. Gonçalves, M.C. Guerreiro, L.C.A. Oliveira, *Quim. Nova*, **2008**, 31, 1048-1052.